

第十九讲

上次课:

- 偏振: 椭圆偏振、圆偏振、线偏振
- 色散介质的介电行为 --- $\vec{D}(t) = \int \epsilon(t-t') \vec{E}(t') dt'$,

在单频谱变电场激励下, $\vec{D}_\omega = \epsilon(\omega) \cdot \vec{E}_\omega$

- 金属介电函数的 Drude 模型:

$$\epsilon_r(\omega) = 1 - \frac{\omega_p^2}{\omega(\omega + i/\tau)} \approx \begin{cases} i \frac{\sigma_c}{\epsilon_0 \omega}, & \leq \text{GHz} \\ 1 - \left(\frac{\omega_p}{\omega}\right)^2, & \text{visible} \end{cases}$$

GHz 以下-极大的**正的虚部**; 光波段-**负的实部**

§ 8.4 电磁波在导电介质中的传播

上节中我们系统介绍了金属的有效介电函数 $\epsilon_r(\omega)$, 下面我们研究电磁波在导电介质中的传播。原则上, 我们需要在金属中求解如下 Maxwell 方程

$$\begin{cases} \nabla \cdot (\epsilon_0 \vec{E}) = \rho_f \\ \nabla \cdot \vec{B} = 0 \\ \nabla \times \vec{E} = -\frac{\partial \vec{B}}{\partial t} \\ \nabla \times \vec{H} = \vec{j}_f + \epsilon_0 \frac{\partial \vec{E}}{\partial t} \end{cases} \quad (8.1.1)$$

针对一个特定频率 ω , 所有的场量均以 $e^{-i\omega t}$ 形式随时间谐变,

$$\left(\vec{E}(\vec{r}, t), \vec{H}(\vec{r}, t), \rho(\vec{r}, t), \vec{j}(\vec{r}, t) \right) = \left(\vec{E}(\vec{r}), \vec{H}(\vec{r}), \rho(\vec{r}), \vec{j}(\vec{r}) \right) e^{-i\omega t} \quad (8.4.1)$$

将金属中的“传导电流”吸收到电位移矢量中 (参考第十八讲 (8.3.14) 式), 并利用连续性方程 $\nabla \cdot \vec{j}_f + \partial \rho_f / \partial t = 0$, 可以证明 Maxwell 方程针对时谐场的形式为:

$$\begin{cases} \nabla \cdot (\varepsilon(\omega)\vec{E}) = 0 \\ \nabla \cdot \vec{H} = 0 \\ \nabla \times \vec{E} = i\omega\mu_0\vec{H} \\ \nabla \times \vec{H} = -i\omega\varepsilon(\omega)\vec{E} \end{cases} \quad (8.4.2)$$

对 (8.4.2) 中第 2 式同时作用 $\nabla \times$ ，并利用 $\nabla \cdot \vec{H} = 0$ ，可得

$$-\nabla^2 \vec{H} = \nabla \times (\nabla \times \vec{H}) = \omega^2 \varepsilon(\omega) \mu_0 \vec{H} \quad (8.4.3)$$

我们立刻发现这个针对单频的“时谐”Maxwell 方程和无色散介质中磁场满足的方程 (8.1.5) 完全一样！只不过这时“介电常数”依赖于频率，只针对目前的所设的频率正确。(8.4.3) 的解是平面波， $\vec{H}(\vec{r}) = \vec{H}_0 e^{i\vec{k} \cdot \vec{r}}$ （此时只需考虑空间变化部分，时间部分总是 $e^{-i\omega t}$ ），代入可解得电磁波传播的色散关系

$$k^2 = \left(\frac{\omega}{c}\right)^2 \varepsilon_r(\omega) \quad (8.4.4)$$

这与一般介质中的色散关系全一样，除了此处 ε_r 是频率的函数，因此只要知道了 $\varepsilon_r(\omega)$ 就可以求解 (8.4.4) 得到电磁波传播的行为。注意，上面的讨论是一般成立的，对任何 **线性各向同性介质**，只要体系在频域的本构关系 $\vec{D}(\omega) = \varepsilon(\omega)\vec{E}(\omega)$ 已知，我们就可以利用 (8.4.4) 式电磁波传播的色散关系。下面考虑几个特殊情形。

1. 良导体在 GHz 及以下频段

A. 复波矢

良导体，如金银铜等，在 GHz 及以下频段的有效介电常数为

$$\varepsilon_r(\omega) \approx -const. + \frac{i\sigma_c}{\varepsilon_0\omega} \approx \frac{i\sigma_c}{\varepsilon_0\omega} \quad (8.4.5)$$

将 (8.4.5) 式代入 (8.4.4) 可得

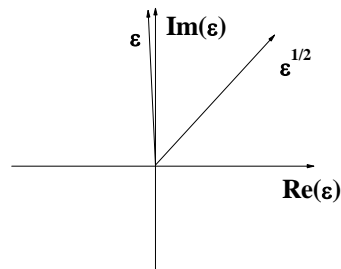
$$k = \frac{\omega}{c} \sqrt{\varepsilon_r} \approx \sqrt{\frac{i\sigma_c}{\varepsilon_0\omega}} \frac{\omega}{c} = (1+i)\alpha \quad (8.4.6)$$

其中

$$\alpha = \sqrt{\frac{\sigma_c \mu_0 \omega}{2}} \quad (8.4.7)$$

则

$$\vec{k} = (1+i)\alpha \cdot \vec{e} \quad (8.4.8)$$



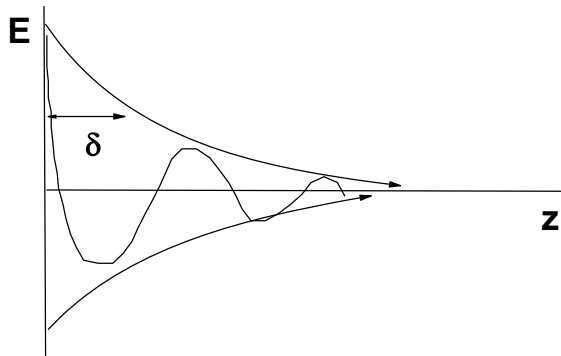
其中 \vec{e} 任意单位矢量（传播方向）。

注意很多教材上假设 $\epsilon_r(\omega) = 1 + \frac{i\sigma_c}{\epsilon_0\omega}$ ，这其实并不完全正确。但事实上，这并不影响解的形式 – 当 $\text{Im}(\epsilon_r) \gg \text{Re}(\epsilon_r)$ 时，解就是 (8.4.6) 式的形式，根本与 ϵ_r 的实部无关！（参看右上图）。

将 (8.4.8) 带入 (8.4.1)，则电磁波在金属中的电场（假设传播方向为 z 方向）为

$$\vec{E} = \vec{E}_0 e^{-\alpha z} e^{i(\alpha z - \omega t)} \quad (8.4.9)$$

当然横波条件要求 \vec{E}_0 在 xy 平面。可见，此时平面波的振幅沿传播方向指数衰减。



振幅衰减到 $r=0$ 处的 $\frac{1}{e}$ 倍的距离 $\frac{1}{\alpha}$ 称为透入深度（也叫趋肤深度），定义为

$$\delta = \frac{1}{\alpha} = \sqrt{\frac{2}{\sigma_c \mu \omega}} \quad (8.4.10)$$

因此电磁波不能渗入在导电介质的内部，而是很快在表面的一个厚度为 δ 的薄层内衰减掉。与此相对应：金属上产生的交流电流一定也只是局域在表层的这个薄层内 – 这个结论我们曾在讨论准静态近似下的电流的趋肤效应时得到过。

Tips: 这种衰减表示电磁波的能量有消耗。但对良导体， $\sigma_c \rightarrow \infty, \delta \rightarrow 0$ ，入射的电磁波几乎被 100% 反射回去。因此，良导体几乎不能吸收电磁波（在 GHz），可以看作理想导体。

B. 电磁场强度之间的关系

由 (8.4.2) 式中的第 2 式可得

$$\vec{B}_0 = \frac{1}{\omega} \vec{k} \times \vec{E}_0 = \frac{\alpha}{\omega} (1+i) \cdot \vec{e} \times \vec{E}_0 = e^{i\pi/4} \sqrt{\frac{\sigma_c \mu_0}{\omega}} \vec{e} \times \vec{E}_0 \quad (8.4.11)$$

良导体内的电磁波有如下重要特点：

(1) 与介质中的电磁波 \vec{B} 、 \vec{E} 之间同相位不同，此处 \vec{B} 、 \vec{E} 之间有 $\frac{\pi}{4}$ 的相位差，

趋向导体内部时，2 者均指数衰减。

(2) 良导体内部的电磁能量是以磁场能形式存在的：

$$U_B \sim \frac{1}{2\mu_0} B_0^2 = \frac{\sigma_c}{2\omega} E_0^2 = \frac{\sigma_c}{\varepsilon_0 \omega} \left(\frac{\varepsilon_0}{2} E_0^2 \right) \gg U_E \quad (8.4.12)$$

这种趋势随着频率的减小增大。当 $\omega = 0$ 时，磁能是电能的无限大倍，因此 \vec{E} 只能为 0- 此时电磁场能量只以磁能的形式出现。这与静电时金属内部不存在静电场的结果一致。导电介质中电磁波的传播特性如图 8.3 所示。

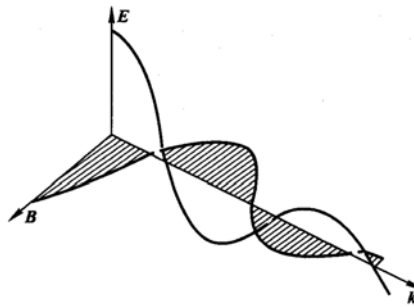


图 8.3

注意：

(1) 这里 $U_E \sim \frac{\varepsilon_0}{2} E_0^2$ 指的是纯粹的电场的能量，并没有把“传导电流”携带的机械能量算上。

(2) 对色散介质，利用 $U_E \sim \frac{1}{2} \vec{D} \cdot \vec{E} \sim \frac{1}{2} \varepsilon(\omega) |E|^2$ 计算介质中电磁场的总能量是不对的，否则你就得到负能量这个荒谬的结论。色散介质中的能量是个复杂的问题，要得到完整的答案，请参考 Landau 的书。

2. 良导体在光波段（等离子体中的光波）

在光波段，金属的有效介电常数为 $\varepsilon_r(\omega) \approx 1 - \frac{\omega_p^2}{\omega^2}$ ，这个模型也被广泛应用于研究其他自由电荷组成的等离子体（唯一的区别是电荷密度不同导致 ω_p^2 不同）。将其带入色散关系可得

$$k^2 = \frac{\omega^2}{c^2} \left(1 - \frac{\omega_p^2}{\omega^2}\right) = \frac{1}{c^2} (\omega^2 - \omega_p^2) \quad (8.4.13)$$

对此我们作如下的讨论：

(1) 当 $\omega < \omega_p$ 时， k 为一纯虚数，可写成 $k = i/\delta$ ，其中

$$\delta = \sqrt{\frac{c^2}{\omega_p^2 - \omega^2}} \quad (8.4.14)$$

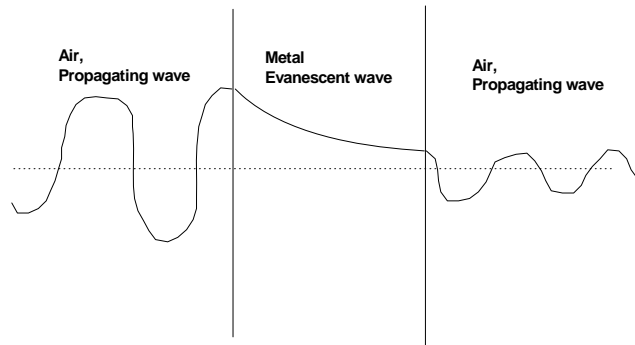
此时金属中的电磁场是纯粹的指数衰减的， $E \sim E_0 e^{ikr} = E_0 e^{-r/\delta}$ ，与 (8.4.9) 式表示

的一边衰减一边振荡（传播）略有不同。这种波称为

消逝波，或者叫消逝波，倏逝波等

（Evanescent wave）。当电磁波由空气入射到金属上时，进入金属后

电磁波后的透入深度为 δ 。

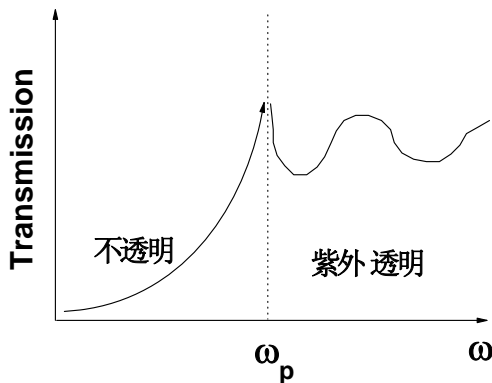


若金属为半无限大，则电磁波完全不能通过金属，因此将被反射回去；若金属板为有限厚度，则会有消逝波隧穿过去（类似量子力学中的隧穿效应）。 δ 越大，则隧穿过去的电磁波就越多（如右图所示）。

(2) 磁场为

$$\vec{B}(z,t) = \frac{1}{\omega} \vec{k} \times E_0 \vec{e}_x e^{-z/\delta} e^{-i\omega t} = \frac{i}{\omega\delta} E_0 \vec{e}_y e^{-z/\delta} e^{-i\omega t} \quad (8.4.15)$$

这里磁场与电场有 $\pi/2$ 的相差，与介质、良导体在 GHz 等情形均不相同！这个相位的不同，造成了能流形式在各种介质中的不同！（参考作业题）



(3) 当 $\omega = \omega_p$ 时， $\delta \rightarrow \infty$ ，此时隧穿效应达到极值。

(4) 当 $\omega > \omega_p$ ， $0 < \epsilon_r < 1$ ， $n = \sqrt{\epsilon_r} < 1$ ，此时金属（或是等离子体）是比真空还要光疏的介质，光波

可以在其中传播。但因为折射率与空气毕竟不同，所以此时一个有限厚度的金属板对电磁波仍然有反射，造成透射率的降低。因此，透射率在 $\omega = \omega_p$ 时达到峰值，人们常有这个峰值所在的频率来探测金属的等离子体共振频率。

(5) 金属在 GHz 和在光波段均可以很好的反射电磁波，但机理及表现形式完全不同。前者是靠金属的介电常数的虚部，而后者靠的是负的介电常数。

3. 非良导体

对于导电性能不好的导电媒质，比如一些电介质，其既有价带电子贡献的介电性质 (ϵ_r)，又因为有少量掺杂的电荷或是其他原因具有很小的电导率 σ_c 。这种物质的复介电函数可以写成

$$\tilde{\epsilon}_r(\omega) = \epsilon_r + i \frac{\sigma_c}{\epsilon_0 \omega} \quad (8.4.16)$$

因为电导率很小， $\frac{\sigma_c}{\epsilon_0 \omega} \ll 1$ ，(8.4.16) 意味着这种物质的介电常数具有很小的虚部。

将 (8.4.16) 带入色散关系 (8.4.4) 中可得

$$k = \beta + i\alpha \approx \frac{\omega}{c} \sqrt{\epsilon_r} + i \frac{\sigma_c}{2\sqrt{\epsilon_r}} \sqrt{\frac{\mu_0}{\epsilon_0}} \quad (8.4.17)$$

电磁波的行为为

$$\vec{E}(\vec{r}, t) = \vec{e}_x E_0 e^{-\alpha x} e^{i(\beta z - \omega t)} \quad (8.4.18)$$

显然，电磁波在这种介质中的传播性质又与良导体的两种情况均不同，与真空中的性质相仿，只是波在传播的过程中有少量能量耗散。

§ 8.5 旋光介质中的电磁波

之前我们研究了一般电介质和导电介质中的电磁波的传播特性。这两种媒介 (虽然前者为非色散介质，后者是色散介质) 的共同特性 **是都是各向同性介质**。下面我们将研究一种 **各向异性介质 - 旋光介质** 中的电磁波的传播特性。

当对等离子介质施加静磁场时，这类介质叫做旋光介质。比如地球附近的受地磁场影响的等离子体层，或者出于恒定磁场中的金属，都是这类介质。要研究

电磁波在这种介质中的传播行为，类似研究金属中的电磁波，我们还是首先研究其本构关系，然后再求解 Maxwell 方程。

1. 旋光介质的本构关系

考虑处于静磁场 \vec{B}_0 中的自由电子气对电场的响应时。忽略杂质的散射项，电子的运动方程为

$$m \frac{\partial \vec{v}}{\partial t} = e \left[\vec{E} + \vec{v} \times \vec{B}_0 \right] \quad (8.5.1)$$

其中，设 $\vec{B}_0 = B_0 \vec{e}_z$ ，外电场随时间谐变 ($\vec{E}(t) = \vec{E}_0 e^{-i\omega t}$)。显然，电子的运动速度也具有 $e^{-i\omega t}$ 因子。设 $\vec{v}(t) = \vec{v}_0 e^{-i\omega t}$ ，则(8.5.1)式的3个分量形式可以写为

$$\begin{aligned} -i\omega v_{0x} &= \frac{e}{m} E_{0x} + \frac{e}{m} v_{0y} B_0 \\ -i\omega v_{0y} &= \frac{e}{m} E_{0y} - \frac{e}{m} v_{0x} B_0 \\ -i\omega v_{0z} &= \frac{e}{m} E_{0z} \end{aligned} \quad (8.5.2)$$

定义 $\omega_B = \frac{|e| B_0}{m} = -\frac{e B_0}{m} > 0$ ，物理意义是电子在垂直磁场平面 (xy-平面) 内做圆周运动的圆频率，代入 (8.5.2) 解之可得

$$\begin{aligned} v_{0x} &= \frac{e}{m} \frac{i\omega E_{0x} + \omega_B E_{0y}}{\omega^2 - \omega_B^2} \\ v_{0y} &= \frac{e}{m} \frac{i\omega E_{0y} - \omega_B E_{0x}}{\omega^2 - \omega_B^2} \\ v_{0z} &= -\frac{e E_{0z}}{im\omega} \end{aligned} \quad (8.5.3)$$

将 (8.5.3) 代入电流密度公式 $\vec{j} = n_e e \vec{v}$ ，可得电流密度的形式：

$$\begin{aligned} j_x &= \frac{n_e e^2}{m} \frac{i\omega E_{0x} + \omega_B E_{0y}}{\omega^2 - \omega_B^2} e^{-i\omega t} = \frac{\varepsilon_0 \omega_p^2}{\omega^2 - \omega_B^2} (i\omega E_x + \omega_B E_y) \\ j_y &= \frac{\varepsilon_0 \omega_p^2}{\omega^2 - \omega_B^2} (i\omega E_y - \omega_B E_x) \\ v_{0z} &= -\frac{\varepsilon_0 \omega_p^2}{i\omega} E_z \end{aligned} \quad (8.5.4)$$

我们发现电流和电场之间的关系满足广义欧姆定律

$$j_i = \sigma_{ij} E_j, \quad or, \quad \vec{j} = \vec{\sigma} \cdot \vec{E} \quad (8.5.5)$$

但此时电导率为一个各向异性的矩阵，定义为

$$\vec{\sigma}(\omega) = \frac{\omega_p^2 \epsilon_0}{(\omega^2 - \omega_B^2)} \begin{bmatrix} i\omega & \omega_B & 0 \\ -\omega_B & i\omega & 0 \\ 0 & 0 & -\frac{(\omega^2 - \omega_B^2)}{i\omega} \end{bmatrix} \quad (8.5.6)$$

有了电导率矩阵，我们可以进一步求出介质的有效介电常数。此时，Maxwell 第四条方程（时域谐变下）为 $\nabla \times \vec{H} = (\vec{\sigma}(\omega) - i\omega\epsilon_0)\vec{E}$ ，将交变条件下“传导电流”看成金属的束缚电流，则对此有效电介质来讲，方程应为 $\nabla \times \vec{H} = -i\omega\vec{\epsilon} \cdot \vec{E}$ 。两式对比可得

$$\vec{\epsilon}_r(\omega) = I + i \frac{1}{\epsilon_0 \omega} \vec{\sigma} = \begin{bmatrix} \epsilon_1 & i\epsilon_2 & 0 \\ -i\epsilon_2 & \epsilon_1 & 0 \\ 0 & 0 & \epsilon_3 \end{bmatrix} \quad (8.5.7)$$

是一个各向异性的“等效介电常数”张量，其中

$$\epsilon_1 = 1 - \frac{\omega_p^2}{\omega^2 - \omega_B^2}, \quad \epsilon_2 = \frac{\omega_p^2 \omega_B}{(\omega^2 - \omega_B^2)\omega}, \quad \epsilon_3 = 1 - \frac{\omega_p^2}{\omega^2} \quad (8.5.8)$$

注意：当 $B_0 = 0$ 时， $\epsilon_2 = 0, \epsilon_1 = \epsilon_3 = 1 - \omega_p^2 / \omega^2$ ，体系回到各向同性的等离子体。

所以磁场对等离子体的影响是使得体系的本构关系变成各向异性，而且非对角元素为纯虚数。具有类似（8.5.7）式的介电常数的体系通常叫做旋电材料，其中的电磁波的行为非常奇异。与此相对应，若磁导率矩阵 $\vec{\mu}_r(\omega)$ 具有（8.5.7）式，则体系称为“旋磁材料”。

习题

P. 205, 8.3（这里的金属指在 GHz 以下的良导体）

补充题：

1) 针对课件中讨论的导电介质的 3 种情形，分别写出当一支初始振幅为 $E_0 \vec{e}_x$ 的

平面电磁波在 3 种介质中沿 z 方向传播时，能流密度的时间平均值 $\langle \vec{S}(z, t) \rangle$ ，

以及在 z 点附近单位体积内单位时间产生的焦耳热的时间平均值

$$\left\langle \frac{d}{dt} Q(z, t) \right\rangle。$$

2) 利用连续性方程 $\nabla \cdot \vec{j}_f + \partial \rho_f / \partial t = 0$, 证明时谐条件下电磁场满足 (8.4.2)。

思考题 (供有余力同学选作)

3) 利用迟逾时间近似考虑杂质散射的影响, 重新推导有磁场存在时等离子体的本构关系 ($\vec{\sigma}(\omega), \vec{\epsilon}_r(\omega)$), 讨论当 $\omega > \omega_p$ 时体系中的电磁波色散关系, 以及直流 ($\omega \rightarrow 0$) 条件下的 $\vec{\sigma}$ 的形式及其所对应的物理。

4) 查阅资料 (Landau《连续介质电动力学》270 页以及《统计物理 II》第 4 章), 搞清楚一个铁磁介质的有效磁导率的形式。